

## 河川における砂礫の移動調査

京都大学防災研究所 正会員 村本嘉雄

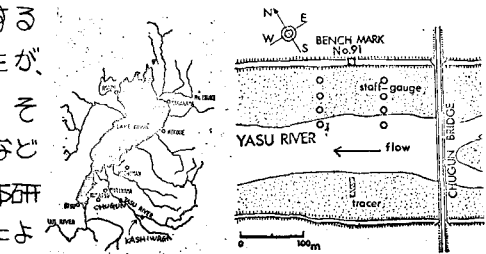
" 河田鬼昭

建設省 " ○布村明彦

**1 概説** 洪水時の河川の掃流砂量を直接測定するため従来捕砂器を用いた種々の方法が考案されたが、いずれも信頼性に關して問題点が多いと思われる。その原因としては、捕砂器前面の局所沈掘や河床波などが捕砂効率に及ぼす影響が挙げられる。そこで、本研究は、砂礫河川で有効と考えられるトレーサー法により、洪水時の野洲川中流部で砂礫移動調査を行い、その結果を用いて掃流砂量の算定を試み、若干の考察を加えたものである。

**2 観測の概要** (1)観測地点：図-1 が示した野洲川の中郡橋及び柏貴橋付近において、1975年5月～1976年10月の洪水期を対象として観測を行った。(2)観測方法および調査項目：トレーサーの設置は、低水時に露出し、洪水時に流下方向にわたってほぼ一様な流れが生ずるよう河床の砂礫に洪水前に流砂用シンロイヒを塗布する方法を取り、洪水後にトレーサーを採取し、その粒径と設置位置からの距離を測定した。なお、観測期間に行なった調査項目は表-1 のとおりであるが、特にここでは1976年の台風17号による出水を対象として中郡橋下流部で行った観測について述べる。

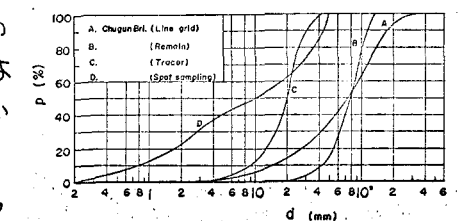
**3 河床砂礫の粒度分布に関する検討** (1)粒度分布：今回、河床の粒度分布は線格子法により測定した。この方法の長所は、河床表面粒度がほぼ正確に分かることのほか、図-3に示したように粒度の横断方向変化が見出せることである。今回の線格子法による粒度分布と、河床の一地点で従来の測定によるものを、図-2に示す。図-2より両者には大きな相違が見られる。これは測定年度の違いと、採取位置の若干の相違が考えられるが、この期間ごとに河床変動があまり起つてないことを考慮すれば、それが主原因であるとは思われない。むしろ、従来の測定では一地点で約1m<sup>2</sup>の部分の砂礫を採取していることと、移動したトレーサーの最大粒径が11.0 cm であったことより、前述した横方向粒度分布の非一様性が考えられる。(2)粒径の横断分布：図-3は河道の横断形状



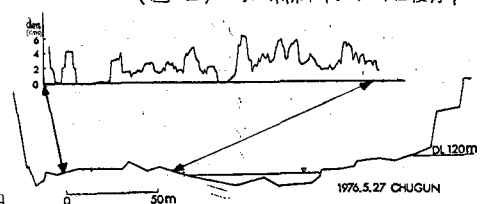
(図-1) 観測地点

CHUGUN	PASHIMAGI
DATE	DATE
75. 5. 17 横断面水準測量	75. 5. 16 水面高さ測定
トレー・サ・設置	トレー・サ・設置
75. 7. 11 トレー・サ・回収	75. 7. 11 トレー・サ・回収
75. 8. 11 トレー・サ・設置	75. 8. 12 トレー・サ・設置
75. 9. 16 トレー・サ・回収	75. 9. 16 トレー・サ・回収
75. 10. 23 トレー・サ・設置	75. 10. 23 トレー・サ・設置
75. 10. 30 トレー・サ・回収	75. 10. 30 トレー・サ・回収
76. 5. 21 横断面水準測量	76. 5. 28 横断面水準測量
トレー・サ・設置	トレー・サ・設置
76. 9. 11 トレー・サ・回収	76. 9. 11 トレー・サ・回収
76. 9. 19 トレー・サ・設置	76. 9. 19 トレー・サ・設置
76. 10. 16 トレー・サ・回収	76. 10. 15 トレー・サ・回収
76. 10. 23 トレー・サ・設置	76. 10. 23 トレー・サ・設置
76. 10. 30 トレー・サ・回収	76. 10. 30 トレー・サ・回収

(表-1) 調査項目



(図-2) 河床材料・トレーサーの粒度分布



(図-3) 横断面図と横方向粒度分布

と、各地点で移動平均した粒径の分布を示したものであり、河床に小粒径砂粒からなる縫隙が存在することがわかる。こうして観点から、河床砂石が横断方向に変化する場合には、線格子法の方がより妥当であると思われる。

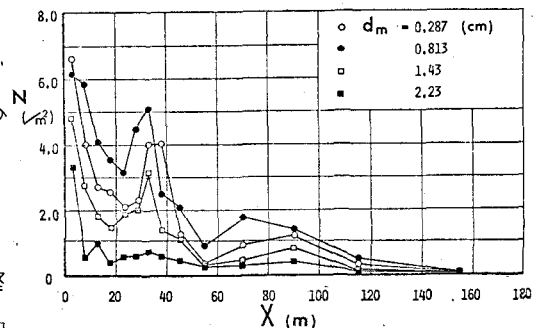
#### 4 砂石の移動特性と流砂量に関する検討

(1)砂石の移動特性；図-4は、トレーサーの粒径別個数の縦断変化を示したもので、砂石の運動の確率的特性が良く現れている。図-5は、移動距離別にトレーサーの粒度分布を比較したもので、移動砂石の粒度分布が縦断方向にあまり変化していないことがわかる。図-6は、各対象洪水ごとにトレーサーの平均粒径の縦断変化を示したものである。なお、大きな点のはらつきは、捕捉個数が少ない理由による。また、移動せりに設置場所に残留した砂石は前掲の図-2に表したような粒度分布となり、小粒径砂石のみが輸送されたことがわかる。(2)流砂量に関する検討：

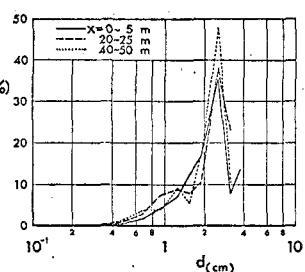
1976年の1号台風の洪水による中群橋下流での流量・時間曲線及び摩擦速度・時間曲線は図-8のようである。ここでは流量Qは、低水流観測資料からマニシケの粒度係数nを0.043とし、水深と水面勾配の実測値よりH～G曲線を作製し、各時刻の水深より求めた。また摩擦速度u\*は、 $u_* = \sqrt{gR}I_e$ として求めたものである。図-7のu\*を用いてEgiazaroff修正式と芦田・道上式を適用して求めた全流砂量は $9634 m^3$ である。次に、トレーサ法の適用性を調べるために、トレーサー設置場所ごとの水深h<sub>0</sub>とを用いて、同様の方法で流砂量

(図-8) 流砂量推定のフローチャート

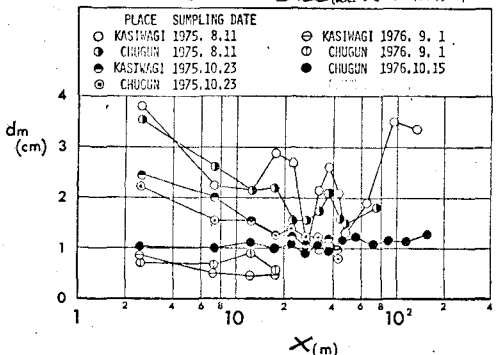
を求めれば、流砂量は0となる。これはEgiazaroff修正式を用いた従来の混合砂の流砂量の算定は、河床材料のはほとんどが移動するような場合を対象としているのである。今回のような河床材料の半分近くが移動しない場合には適用できないことを示している。一方、トレーサ法によって粒径別の平均移動距離から流砂量の実測値と求めると、 $1.09 m^3/m$ となる。また、著者らが砂石河川を二粒径モデルに置きひいと実験結果より作製した図-8のフローチャートを用いて算定すると $0.138 m^3/m$ となる。<sup>詳細については</sup> 講演時に述べる。



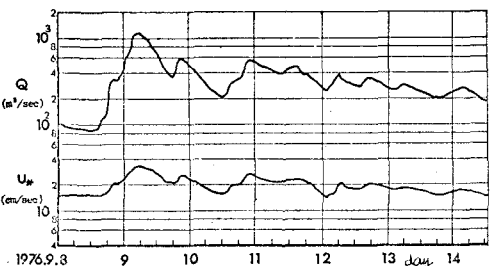
(図-4) 粒径別個数の縦断変化



(図-5) 移動距離別粒度分布



(図-6) トレーサーの平均粒径の縦断変化



(図-7) 流量および摩擦速度の時間変化